

뿔뾰 V-노치의 근사 등가형상과 중첩법을 이용한 점근응력장

Asymptotic stress fields and approximate equivalent shape of a blunt V-notch using the superposition method

*박병선¹, #조상봉², 김진광²

*B. S. Park¹, #S. B. Cho(sbcho@kyungnam.ac.kr)², J. K. Kim²

¹경남대학교 대학원 첨단공학과, ²경남대학교 기계자동차공학부

Key words : Blunt V-notch, superposition method, stress fields

1. 서론

V-노치와 같은 형상을 가지는 구조물은 응력 집중이 일어나고 균열이 발생 성장하게 된다. 실제 구조물에서는 날카로운 형태의 V-노치보다 뿔뾰한 형태의 사용이 많을 것이다.

뿔뾰한 형태의 V-노치에 관한 연구를 Filippi, Lazzarin과 Tovo⁰⁾가 하였다. 본 연구의 저자 중 일부⁰⁾도 이 문제에 관한 연구를 한 바 있다.

본 연구에서는 앞서 발표한 연구결과에 이어 중첩법으로 접근한 결과를 제시하고 비교분석을 통해 유용성과 타당성을 확인하고자 한다.

2. 반경 ρ의 뿔뾰한 V-노치의 근사 등가형상

Fig 1에서 보는바와 같은 반경 ρ의 끝이 둥근 V-노치는 수식적 접근이 복잡하여 엄밀해를 구하기 어렵다. 반경 r₀의 원호형을 가지는 V-노치로 근사 등가형상을 취하여 응력장을 구한다.

3. 중첩법에 의한 응력장

예리한 V-노치의 응력장을 이용하여 Fig. 2에서 보는 바와 같이 r=r₀인 위치에서 σ_{rr}¹ = -σ_{rr}², τ_{rθ}¹ = -τ_{rθ}²로 되는 두 응력장을 중첩하여 r₀ 지점에

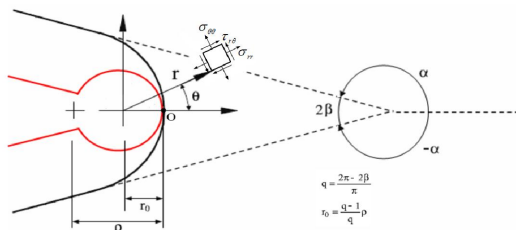


Fig. 1 A rounded V-notch with tip radius ρ

서 표면력이 없는 경계조건을 만족하게 되고, σ_{θθ} = σ_{θθ}¹ + σ_{θθ}²의 값만 존재하는 r₀의 원호형을 가지는 V-노치의 응력장을 얻을 수 있다.

3.1 중첩법에 의한 모드 I의 응력장

$$\sigma_{rr}(r, \theta) = \frac{K_I^\lambda}{\sqrt{2\pi} r^{(1-\lambda)}} \left[1 - \left(\frac{r_0}{r} \right)^{(2\lambda)} \right] f_{rr}(\lambda, \theta)$$

$$\sigma_{\theta\theta}(r, \theta) = \frac{K_I^\lambda}{\sqrt{2\pi} r^{(1-\lambda)}} \left[1 + \left(\frac{r_0}{r} \right)^{(2\lambda)} \right] f_{\theta\theta}(\lambda, \theta)$$

$$\sigma_{r\theta}(r, \theta) = \frac{K_I^\lambda}{\sqrt{2\pi} r^{(1-\lambda)}} \left[1 - \left(\frac{r_0}{r} \right)^{(2\lambda)} \right] f_{r\theta}(\lambda, \theta)$$

여기서 K_I^λ는 응력강도계수이고, λ는 모드 I의 고유치이며 sin(2λ α) + λsin(2 α) = 0로부터 구할 수 있다.

3.2 중첩법에 의한 모드 II의 응력장

$$\sigma_{rr}(r, \theta) = \frac{K_{II}^\mu}{\sqrt{2\pi} r^{(1-\mu)}} \left[1 - \left(\frac{r_0}{r} \right)^{(2\mu)} \right] f_{rr}(\mu, \theta)$$

$$\sigma_{\theta\theta}(r, \theta) = \frac{K_{II}^\mu}{\sqrt{2\pi} r^{(1-\mu)}} \left[1 + \left(\frac{r_0}{r} \right)^{(2\mu)} \right] f_{\theta\theta}(\mu, \theta)$$

$$\sigma_{r\theta}(r, \theta) = \frac{K_{II}^\mu}{\sqrt{2\pi} r^{(1-\mu)}} \left[1 - \left(\frac{r_0}{r} \right)^{(2\mu)} \right] f_{r\theta}(\mu, \theta)$$

여기서 K_{II}^μ는 응력강도계수이고, μ는 모드 II의 고유치이며 sin(2μ α) - μsin(2 α) = 0로부터 구할 수 있다.

4. 결과 및 검토

4.1 응력성분의 비교분석

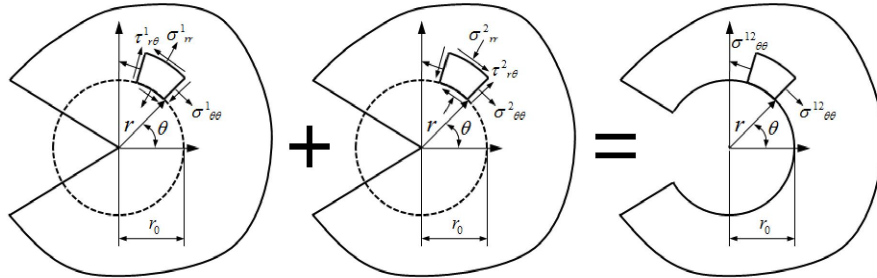
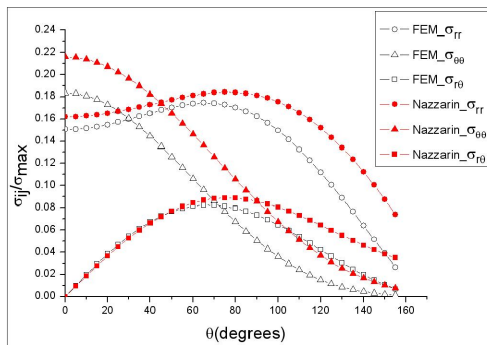


Fig. 2 Superposition method

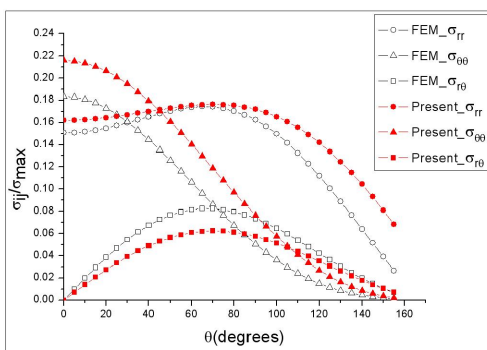
유한요소해석 결과와 Filippi, Lazzarin과 Tovo⁽¹⁾의 결과 및 본 연구 결과의 응력성분을 비교 분석하였다. 비교분석하기 위한 모델은 $\alpha = 180^\circ, 160^\circ, 135^\circ$ 인 끝이 둥근 V-노치로 모드 I, II 하중에 대하여 유한요소해석하고 Filippi, Lazzarin과 Tovo⁽¹⁾의 결과와 본 연구 결과를 비교하였다.

$\alpha = 180^\circ$ 인 경우는 $\theta = 0^\circ$ 방향의 응력성분은 Filippi, Lazzarin과 Tovo⁽¹⁾의 결과와 본 연구 결과가 완전히 일치하였다. $\alpha = 165^\circ, \alpha = 135^\circ$ 인 경우는 Filippi, Lazzarin과 Tovo⁽¹⁾의 결과보다 본 연구 결과가 잘 일치하였다. 반경 $r = 3\rho$ 에서 $\alpha = 180^\circ, \alpha = 165^\circ, \alpha = 135^\circ$ 의 각각의 응력성분은 평균적으로 Filippi, Lazzarin과 Tovo⁽¹⁾의 결과보다는 본 연구의 결과가 잘 일치함을 보였다.

한 예로서 Fig. 3은 반경 3ρ 에서 180° 모드 I의 응력값이다. (a)의 Filippi, Lazzarin과 Tovo⁽¹⁾ $\sigma_{r\theta}$ 응력값이 0° 에서 60° 까지 거의 일치함을 보인다. (b)의 본 연구는 σ_{rr} 부분이 40° 에서 160° 구간이 Filippi, Lazzarin과 Tovo⁽¹⁾의 응력값보다 정확하고, $\sigma_{\theta\theta}$ 는 Filippi, Lazzarin과 Tovo⁽¹⁾의 응력값과 거의 일치한다. $\sigma_{r\theta}$ 는 0° 부터 80° 까지는 다소 차이가 발생하지만 쉘기각도 160° 도에 접근할수록 Filippi, Lazzarin과 Tovo⁽¹⁾의 응력값보다 본 연구가 더 정확한 결과 값을 보인다.



(a) Lazzarin's and FEM results ($\alpha = 180^\circ$)



(b) Present and FEM results ($\alpha = 180^\circ$)

Fig. 3 Comparison of Lazzarin's and present stress components for a blunt V-notch under mode I at $r=3\rho$ contour

5. 결론

몽푁한 V-노치문제는 수식전개의 어려움으로 엄밀해를 구하기 힘들다. 몽푁한 V-노치문제를 r_0 의 원호 홈을 가지는 V-노치로 등가형상을 취하고 중첩법을 이용하여 보다 간단한 형태의 근사 응력장을 구하였다. 기존의 연구 결과와 비교해서 해의 정밀도가 높게 나타남을 볼 수 있었다.

참고문헌

1. Filippi S, Lazzarin P. and Tovo R., International Journal of solids and structures, 39,4543-4565,2002. (이하생략)